

Starkniederschlagshöhen und -spenden gemäß KOSTRA-DWD-2020

Rasterfeld 165137

(Zeile 165, Spalte 137)

Regenspende und Bemessungsniederschlagswerte in Abhängigkeit von Wiederkehrzeit T und Dauerstufe D

| Dauerstufe D | | Wiederkehrzeit T | | | | | | | | | | | | | | | | | |
|--------------|-----|------------------|------------|------|------------|------|------------|-------|------------|-------|------------|-------|------------|-------|------------|-------|------------|-------|------------|
| | | 1 a | | 2 a | | 3 a | | 5 a | | 10 a | | 20 a | | 30 a | | 50 a | | 100 a | |
| min | Std | mm | l / (s ha) | mm | l / (s ha) | mm | l / (s ha) | mm | l / (s ha) | mm | l / (s ha) | mm | l / (s ha) | mm | l / (s ha) | mm | l / (s ha) | mm | l / (s ha) |
| 5 | | 6,5 | 216,7 | 8,0 | 266,7 | 8,9 | 296,7 | 10,2 | 340,0 | 11,9 | 396,7 | 13,8 | 460,0 | 15,0 | 500,0 | 16,5 | 550,0 | 18,8 | 626,7 |
| 10 | | 8,6 | 143,3 | 10,6 | 176,7 | 11,8 | 196,7 | 13,5 | 225,0 | 15,8 | 263,3 | 18,2 | 303,3 | 19,8 | 330,0 | 21,9 | 365,0 | 24,9 | 415,0 |
| 15 | | 9,9 | 110,0 | 12,2 | 135,6 | 13,7 | 152,2 | 15,6 | 173,3 | 18,3 | 203,3 | 21,1 | 234,4 | 22,9 | 254,4 | 25,3 | 281,1 | 28,8 | 320,0 |
| 20 | | 10,9 | 90,8 | 13,5 | 112,5 | 15,1 | 125,8 | 17,2 | 143,3 | 20,2 | 168,3 | 23,3 | 194,2 | 25,3 | 210,8 | 27,9 | 232,5 | 31,7 | 264,2 |
| 30 | | 12,5 | 69,4 | 15,4 | 85,6 | 17,2 | 95,6 | 19,6 | 108,9 | 23,0 | 127,8 | 26,5 | 147,2 | 28,8 | 160,0 | 31,8 | 176,7 | 36,2 | 201,1 |
| 45 | | 14,1 | 52,2 | 17,5 | 64,8 | 19,5 | 72,2 | 22,2 | 82,2 | 26,1 | 96,7 | 30,1 | 111,5 | 32,7 | 121,1 | 36,1 | 133,7 | 41,0 | 151,9 |
| 60 | 1 | 15,4 | 42,8 | 19,0 | 52,8 | 21,3 | 59,2 | 24,2 | 67,2 | 28,5 | 79,2 | 32,8 | 91,1 | 35,7 | 99,2 | 39,4 | 109,4 | 44,8 | 124,4 |
| 90 | 1,5 | 17,4 | 32,2 | 21,5 | 39,8 | 24,0 | 44,4 | 27,3 | 50,6 | 32,1 | 59,4 | 37,0 | 68,5 | 40,3 | 74,6 | 44,5 | 82,4 | 50,5 | 93,5 |
| 120 | 2 | 19,0 | 26,4 | 23,4 | 32,5 | 26,1 | 36,3 | 29,8 | 41,4 | 34,9 | 48,5 | 40,3 | 56,0 | 43,8 | 60,8 | 48,4 | 67,2 | 55,0 | 76,4 |
| 180 | 3 | 21,3 | 19,7 | 26,3 | 24,4 | 29,4 | 27,2 | 33,5 | 31,0 | 39,3 | 36,4 | 45,4 | 42,0 | 49,3 | 45,6 | 54,5 | 50,5 | 61,9 | 57,3 |
| 240 | 4 | 23,2 | 16,1 | 28,6 | 19,9 | 32,0 | 22,2 | 36,4 | 25,3 | 42,7 | 29,7 | 49,3 | 34,2 | 53,6 | 37,2 | 59,2 | 41,1 | 67,3 | 46,7 |
| 360 | 6 | 26,1 | 12,1 | 32,2 | 14,9 | 35,9 | 16,6 | 40,9 | 18,9 | 48,0 | 22,2 | 55,4 | 25,6 | 60,2 | 27,9 | 66,6 | 30,8 | 75,6 | 35,0 |
| 540 | 9 | 29,3 | 9,0 | 36,1 | 11,1 | 40,4 | 12,5 | 45,9 | 14,2 | 54,0 | 16,7 | 62,2 | 19,2 | 67,7 | 20,9 | 74,8 | 23,1 | 84,9 | 26,2 |
| 720 | 12 | 31,8 | 7,4 | 39,2 | 9,1 | 43,8 | 10,1 | 49,9 | 11,6 | 58,6 | 13,6 | 67,6 | 15,6 | 73,5 | 17,0 | 81,2 | 18,8 | 92,2 | 21,3 |
| 1080 | 18 | 35,7 | 5,5 | 44,0 | 6,8 | 49,2 | 7,6 | 56,0 | 8,6 | 65,8 | 10,2 | 75,9 | 11,7 | 82,5 | 12,7 | 91,1 | 14,1 | 103,5 | 16,0 |
| 1440 | 24 | 38,7 | 4,5 | 47,8 | 5,5 | 53,4 | 6,2 | 60,8 | 7,0 | 71,4 | 8,3 | 82,4 | 9,5 | 89,5 | 10,4 | 98,9 | 11,4 | 112,4 | 13,0 |
| 2880 | 48 | 47,2 | 2,7 | 58,2 | 3,4 | 65,1 | 3,8 | 74,1 | 4,3 | 87,0 | 5,0 | 100,3 | 5,8 | 109,1 | 6,3 | 120,5 | 7,0 | 136,9 | 7,9 |
| 4320 | 72 | 53,0 | 2,0 | 65,4 | 2,5 | 73,0 | 2,8 | 83,1 | 3,2 | 97,6 | 3,8 | 112,6 | 4,3 | 122,4 | 4,7 | 135,3 | 5,2 | 153,7 | 5,9 |
| 5760 | 96 | 57,5 | 1,7 | 70,9 | 2,1 | 79,3 | 2,3 | 90,2 | 2,6 | 106,0 | 3,1 | 122,2 | 3,5 | 132,9 | 3,8 | 146,8 | 4,2 | 166,8 | 4,8 |
| 7200 | 120 | 61,3 | 1,4 | 75,6 | 1,8 | 84,5 | 2,0 | 96,1 | 2,2 | 112,9 | 2,6 | 130,3 | 3,0 | 141,6 | 3,3 | 156,5 | 3,6 | 177,8 | 4,1 |
| 8640 | 144 | 64,5 | 1,2 | 79,6 | 1,5 | 89,0 | 1,7 | 101,2 | 2,0 | 118,9 | 2,3 | 137,2 | 2,6 | 149,1 | 2,9 | 164,8 | 3,2 | 187,2 | 3,6 |
| 10080 | 168 | 67,4 | 1,1 | 83,2 | 1,4 | 93,0 | 1,5 | 105,8 | 1,7 | 124,3 | 2,1 | 143,3 | 2,4 | 155,8 | 2,6 | 172,2 | 2,8 | 195,6 | 3,2 |

Starkniederschlagshöhen und -spenden gemäß KOSTRA-DWD-2020

Rasterfeld 165137

(Zeile 165, Spalte 137)

Örtliche Unsicherheiten in Abhängigkeit von Wiederkehrzeit T und Dauerstufe D

| Dauerstufe D | | Wiederkehrzeit T | | | | | | | | |
|--------------|-----|------------------|-----|-----|-----|------|------|------|------|-------|
| | | 1 a | 2 a | 3 a | 5 a | 10 a | 20 a | 30 a | 50 a | 100 a |
| min | Std | ± % | ± % | ± % | ± % | ± % | ± % | ± % | ± % | ± % |
| 5 | | 12 | 13 | 13 | 14 | 15 | 16 | 16 | 17 | 17 |
| 10 | | 15 | 16 | 17 | 18 | 19 | 20 | 21 | 21 | 22 |
| 15 | | 16 | 18 | 19 | 20 | 21 | 22 | 23 | 23 | 24 |
| 20 | | 17 | 19 | 20 | 21 | 22 | 23 | 24 | 24 | 25 |
| 30 | | 18 | 20 | 21 | 22 | 23 | 24 | 25 | 25 | 26 |
| 45 | | 18 | 20 | 21 | 22 | 23 | 24 | 25 | 25 | 26 |
| 60 | 1 | 18 | 20 | 21 | 22 | 23 | 24 | 24 | 25 | 25 |
| 90 | 1,5 | 17 | 19 | 20 | 21 | 22 | 23 | 23 | 24 | 25 |
| 120 | 2 | 16 | 18 | 19 | 20 | 21 | 22 | 23 | 23 | 24 |
| 180 | 3 | 15 | 17 | 18 | 19 | 20 | 21 | 21 | 22 | 22 |
| 240 | 4 | 14 | 16 | 17 | 18 | 19 | 20 | 20 | 21 | 21 |
| 360 | 6 | 13 | 15 | 16 | 17 | 18 | 19 | 19 | 20 | 20 |
| 540 | 9 | 12 | 14 | 15 | 16 | 17 | 17 | 18 | 18 | 19 |
| 720 | 12 | 12 | 13 | 14 | 15 | 16 | 17 | 17 | 18 | 18 |
| 1080 | 18 | 12 | 13 | 14 | 14 | 15 | 16 | 16 | 17 | 17 |
| 1440 | 24 | 12 | 13 | 13 | 14 | 15 | 15 | 16 | 16 | 17 |
| 2880 | 48 | 13 | 13 | 13 | 14 | 14 | 15 | 15 | 15 | 16 |
| 4320 | 72 | 14 | 14 | 14 | 14 | 15 | 15 | 15 | 15 | 16 |
| 5760 | 96 | 15 | 15 | 15 | 15 | 15 | 15 | 15 | 16 | 16 |
| 7200 | 120 | 16 | 15 | 15 | 15 | 15 | 16 | 16 | 16 | 16 |
| 8640 | 144 | 17 | 16 | 16 | 16 | 16 | 16 | 16 | 16 | 16 |
| 10080 | 168 | 17 | 17 | 16 | 16 | 16 | 16 | 16 | 17 | 17 |

Parameter für abweichende T und D

Lokationsparameter ξ (Xi)

15,70805751

Skalenparameter α (Alpha)

5,10879624

Formparameter κ (Kappa)

-0,1

1. Koutsoyiannis-Parameter θ (Theta)

0,02360117

2. Koutsoyiannis-Parameter η (Eta)

0,71556119

Parameter für dauerstufenübergreifende Extremwertschätzung nach KOUTSOYIANNIS et al. 1998.

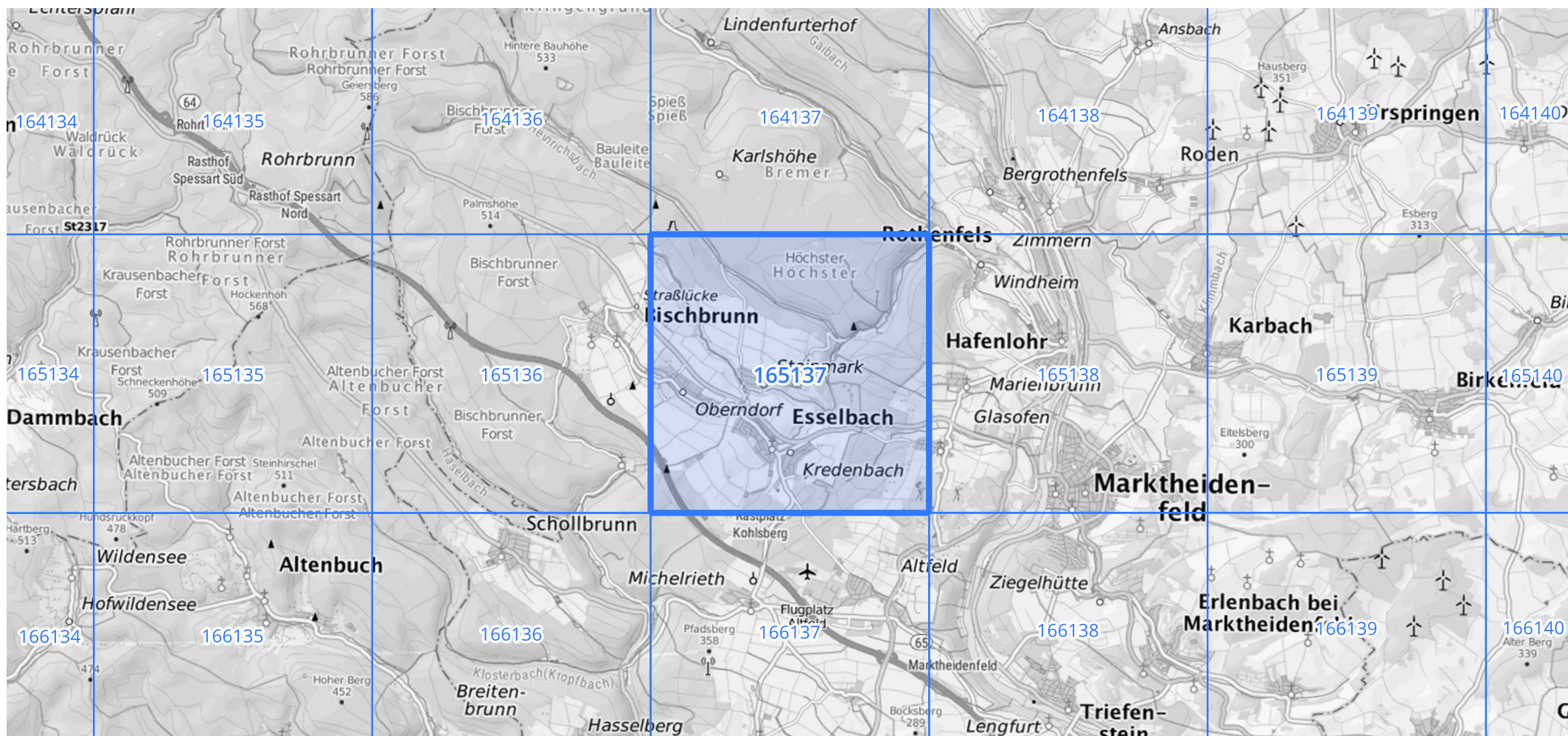
Siehe auch Anwendungshilfe zu KOSTRA-DWD-2020 des Deutschen Wetterdienstes.

Starkniederschlagshöhen und -spenden gemäß KOSTRA-DWD-2020

Rasterfeld 165137

(Zeile 165, Spalte 137)

Übersichtskarte des Rasterfeldes 165137, M 1 : 100 000



Quelle Rasterdaten: KOSTRA-DWD-2020 des Deutschen Wetterdienstes, Stand 12/2022.

Seite 3 von 3

Kartendarstellung: © Bundesamt für Kartographie und Geodäsie (2023), Datenquellen: https://sgx.geodatenzentrum.de/web_public/gdz/datenquellen/Datenquellen_TopPlusOpen.html

Für die Richtigkeit und Aktualität der Angaben wird keine Gewähr übernommen. Erstellt 01/2023.